

Impacts de la numérisation sur les scénarios énergie/climat

Rémi PACCOU, doctorant au CIRED Sous la direction de Franck LECOCQ

Journée MPDD 8 octobre 2025



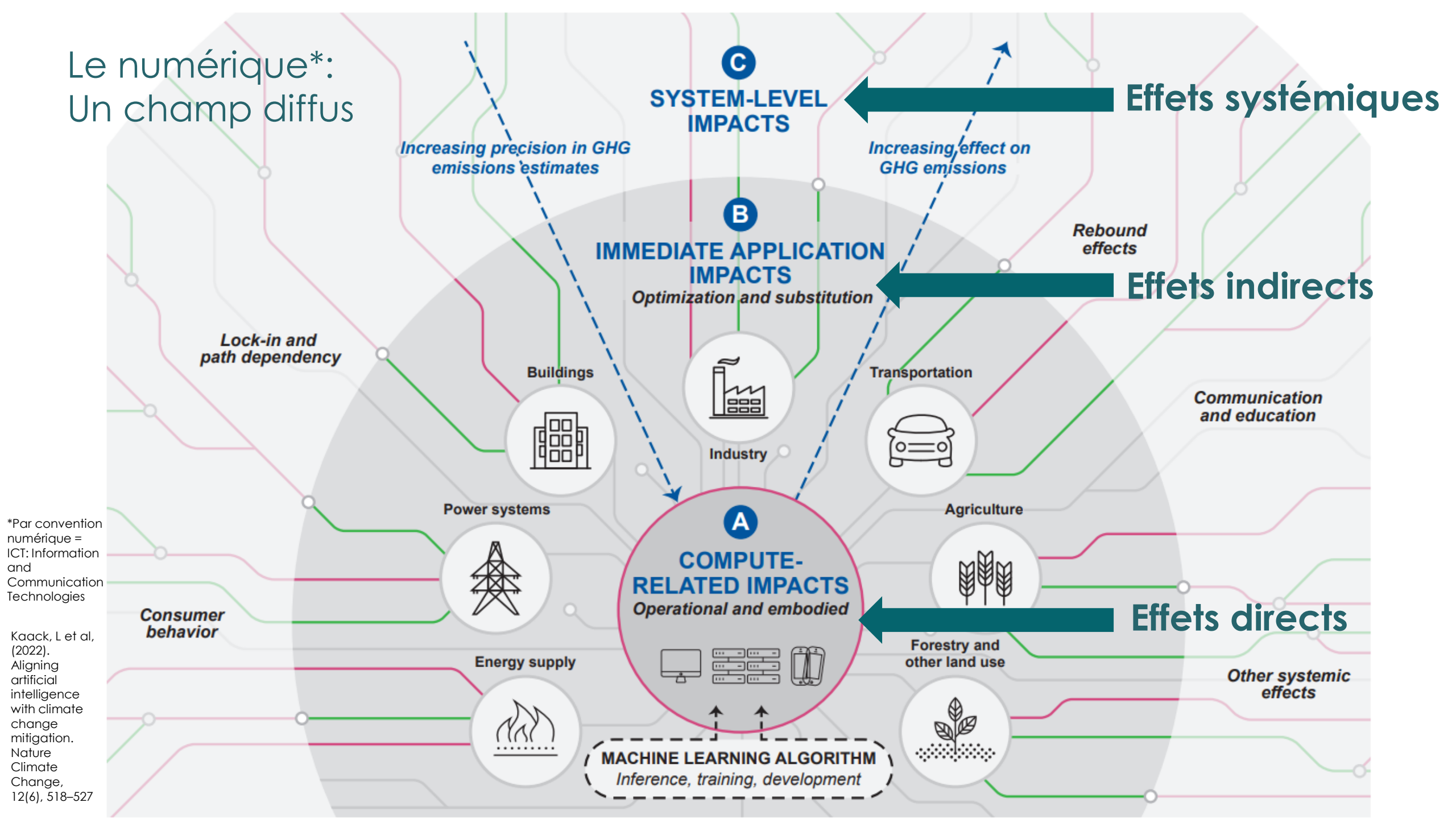




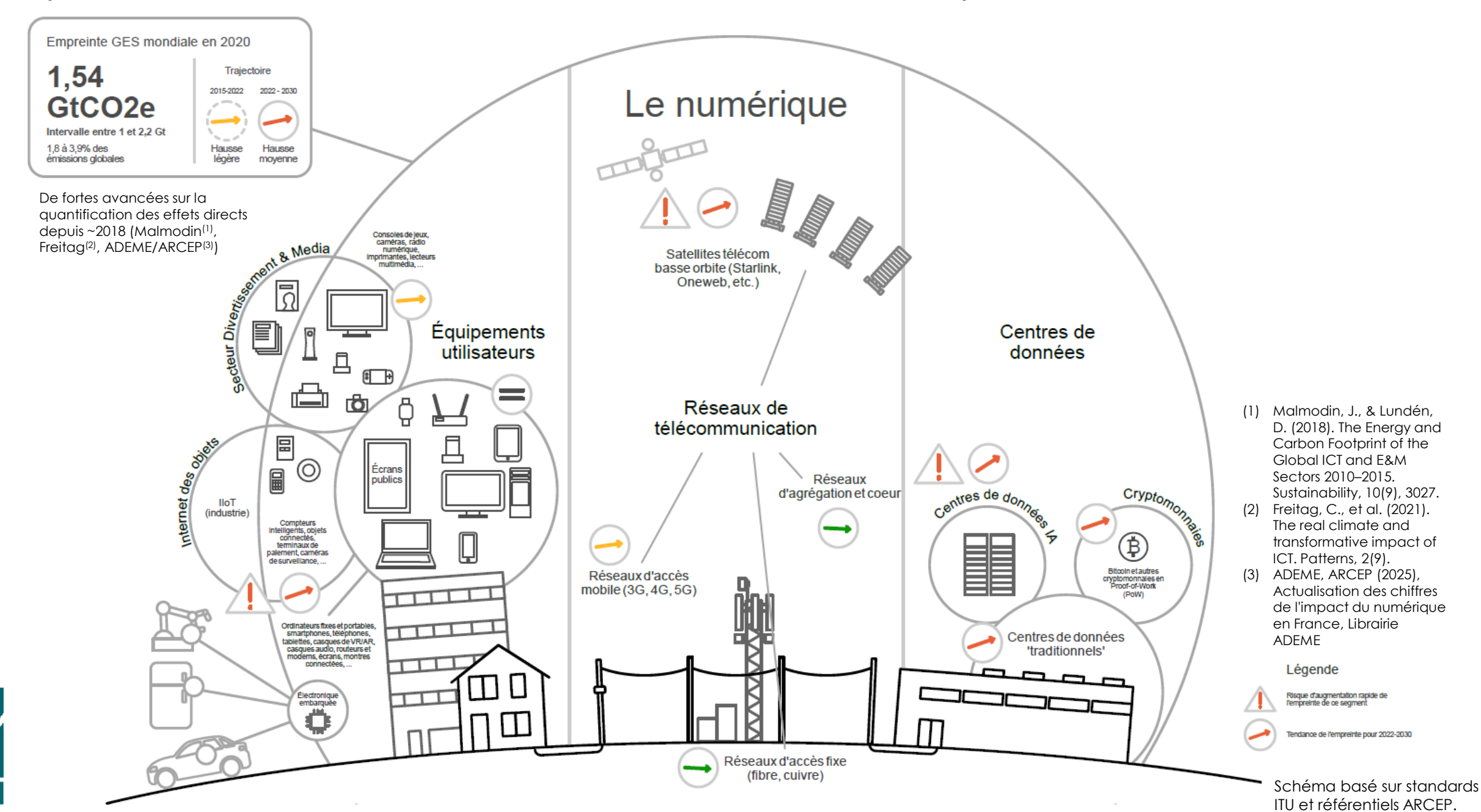




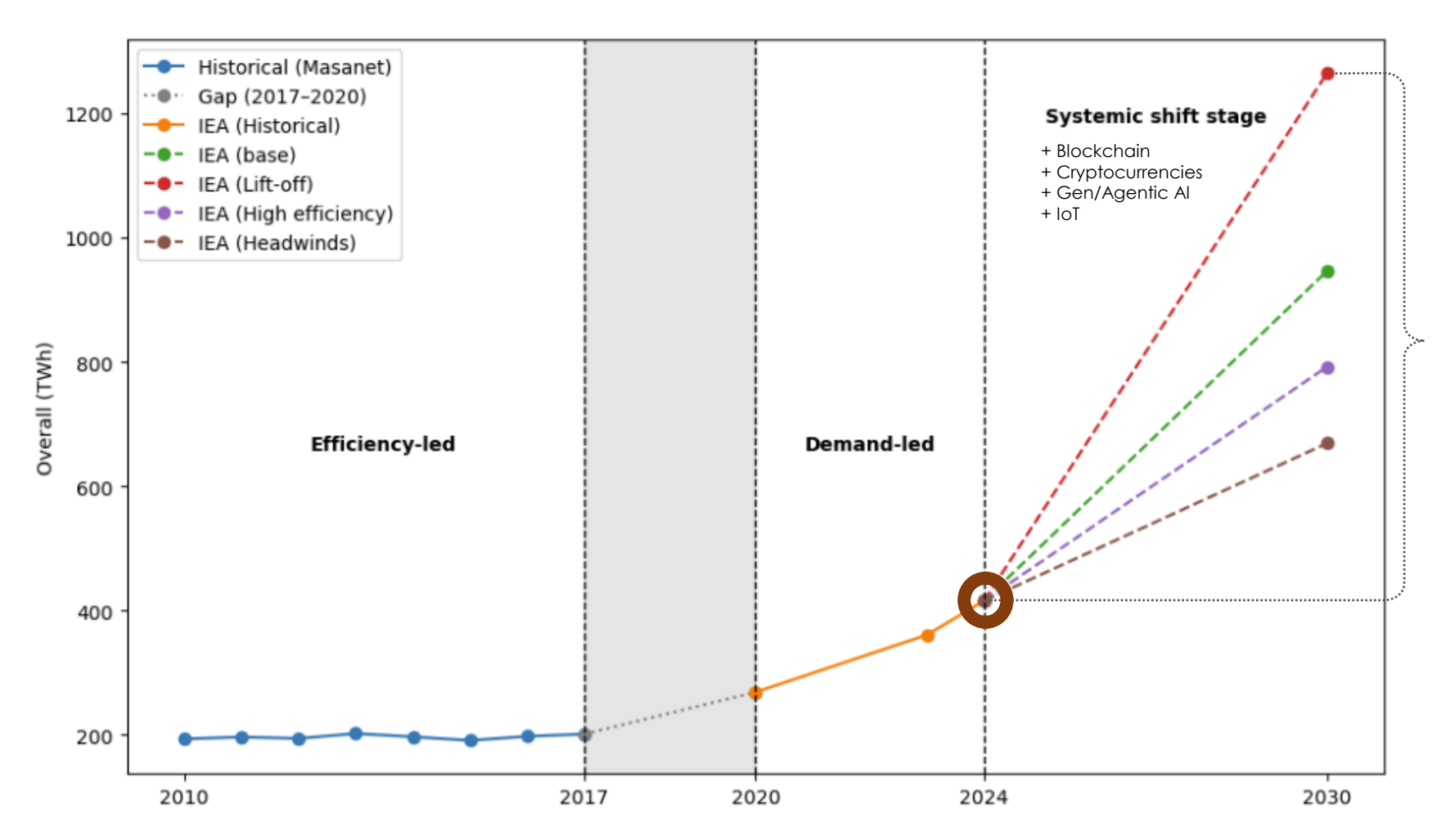




L'empreinte directe: ~4/6% de la demande électrique mondiale⁽¹⁾



L'empreinte directe: Puissance de calcul et demande électrique^(1,2,3,4)



Une puce IA actuelle* effectue 82 milliards de fois plus d'opérations que l'ordinateur de bord d'Apollo 11⁽⁵⁾

*H100, 2 000 TFLOPS (FP16), 700W, 1,4 × 1012 FLOPS/W, 6,3 × 1022

Quelle orientation pour cette puissance de calcul?

Enjeux environnementaux, développement socioéconomique, ou usages plus larges et multiformes ?

Capacités computationnelles Ordre de grandeur dans l'histoire Nombre d'opérations avec 1 TWh/an

	Antiquité	Abacus babylonien/romain : calcul manuel (opérations humaines)	~10 ⁷ à 10 ⁸
	Renaissance	Bâtons de Napier (~1617) : premier calcul mécanique manuel	~10 ¹¹ à 10 ¹²
	Révolution industrielle	Machine analytique de Babbage (théorique) : première machine mécanique à calculer automatiquement	~10 ¹³ à 10 ¹⁴
	Après-guerre (WWII)	Colossus (1944) : décryptage des codes allemands (crypto nazi, Bletchley Park)	~1017
	Apollo (1969, Lune)	Apollo Guidance Computer : calcul embarqué pour navigation spatiale	~8 × 10 ¹⁷
-	IA actuelle (2025)	GenAI/Large Language Model (H100e, modèles 2025) : inférence et entraînement de pointe	10 ²⁷ à 10 ²⁸



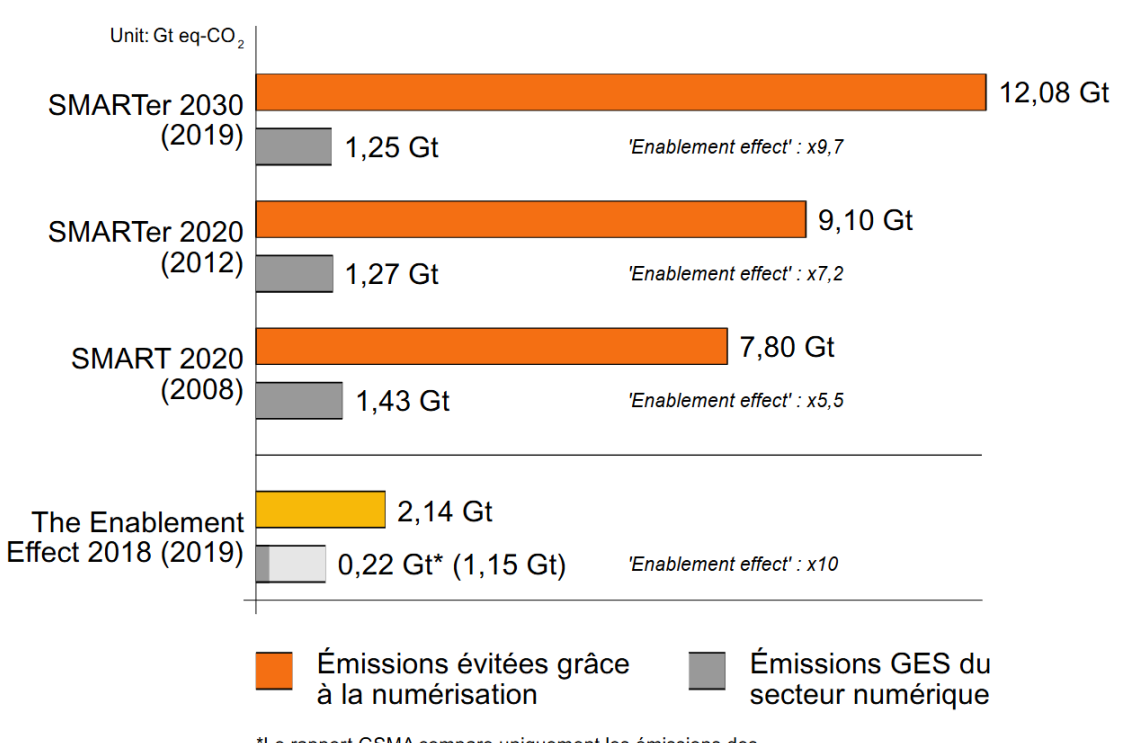
- (2) IEA (2024). Electricity 2024 & Data Centres and Data Transmission Networks. IEA Publications.
- 3) Schneider Electric Sustainability Research (2025), Artificial Intelligence and Electricity: A System Dynamics Approach
- (4) IEA (2025), Al and Energy. IEA Publications
 - Robi Rahman (2025), "Leading ML hardware becomes 40% more energy-efficient each year". *Published online at epoch.ai*. Retrieved from: 'https://epoch.ai/data-insights/ml-hardware-energy-efficiency'

General

Les effets indirects liés à l'usage

Le « potentiel » d'effets positifs de la numérisation à l'épreuve de la taxonomie

Plusieurs études, notamment celles du GeSI (1,2,3) et de la GSMA(4), soulignent les gains d'efficacité potentiels de la numérisation pour la transition écologique, bien que leurs méthodologies et résultats restent difficilement comparables.



*Le rapport GSMA compare uniquement les émissions des télécommunications mobiles aux émissions potentiellement évitées par ces dernières. L'empreinte totale du secteur numérique est rappelée entre parenthèses. Ces études ne prennent en compte que les effets de substitution/efficacité. (5)

Source/effect		Тахопоту										
		ITU L.14xx Standards Börjesson Rivera et al.		Horner et al.		Rattle	Williams	Berkhout & Hertin	Hilty & Aebischer	Pohl et al.	Coroamă, Bergmark et al.	
	Raw material acquisition					Embodied						
Lifecycle	Production	First order	First	First order effects/direct	Direct		ICT infrastructure	Direct	Life-cycle	Direct	Direct footprint	
of ICT	Use	effects	order	effects	Direct	Operational		and devices	effects	impact	effects	Direct rootprint
	End-of-life treatment		effects			Disposal						
Substituti	on	Second		Substitution effects	Indirect: single	Substitution	Substitution		Indirect			
Optimizat	tion	order effects			service	Efficiency	Optimization	Applications	effects			Induced effects
Direct rebound				Direct economic rebound effects		Direct rebound	Induction	-				
Indirect rebound				Indirect economic rebound effects		Indirect	Supplementation					
				Time rebound								
		orde	Second Space rebound									Enabling impact
Transform	national		order effects	Transformational rebound effects	Indirect:	Economy-wide rebound	Creation	Effects on economic growth	(micro level)	(micro	order effects	
rebound Induced consumption		Higher order effects		Economy-wide rebound	economy-wide	(structural change)	Creation	and consumption patterns				
				Rematerialisation and induction								
Sustainab	ble lifestyle &			Learning about production and consumption								
practices	,			Changed practices								
	transformation ral economic			Scale effects and learning in production and consumption	Indirect: society-	wide	Systemic transformation	Systemic effects on technology convergence and society		Structural impact (macro level)		-



- (1) The Climate Group, GeSI, "SMART 2020: Enabling the low carbon economy in the information age," GeSI, 2008.
- (2) Boston Consulting Group, GeSI, "SMARTer 2020: The Role of ICT in Driving a Sustainable Future," GeSI, 2012.
- (3) Accenture Strategy, GeSI, "#SMARTer2030 ICT Solutions for 21st Century Challenges," GeSI, 2015.
- (4) GSMA, The Carbon Trust, "The Enablement Effect The impact of mobile communications technologies on carbon emission reductions," GSMA, 2019.
- 5) Bremer, et al. (2024). Assessing energy and climate effects of digitalization: Methodological challenges and key recommendations. Digitalization, energy and climate (p10). Springer.

Les effets indirects liés à l'usage

Vers les effets nets environnementaux: Des méthodologies encore complexes

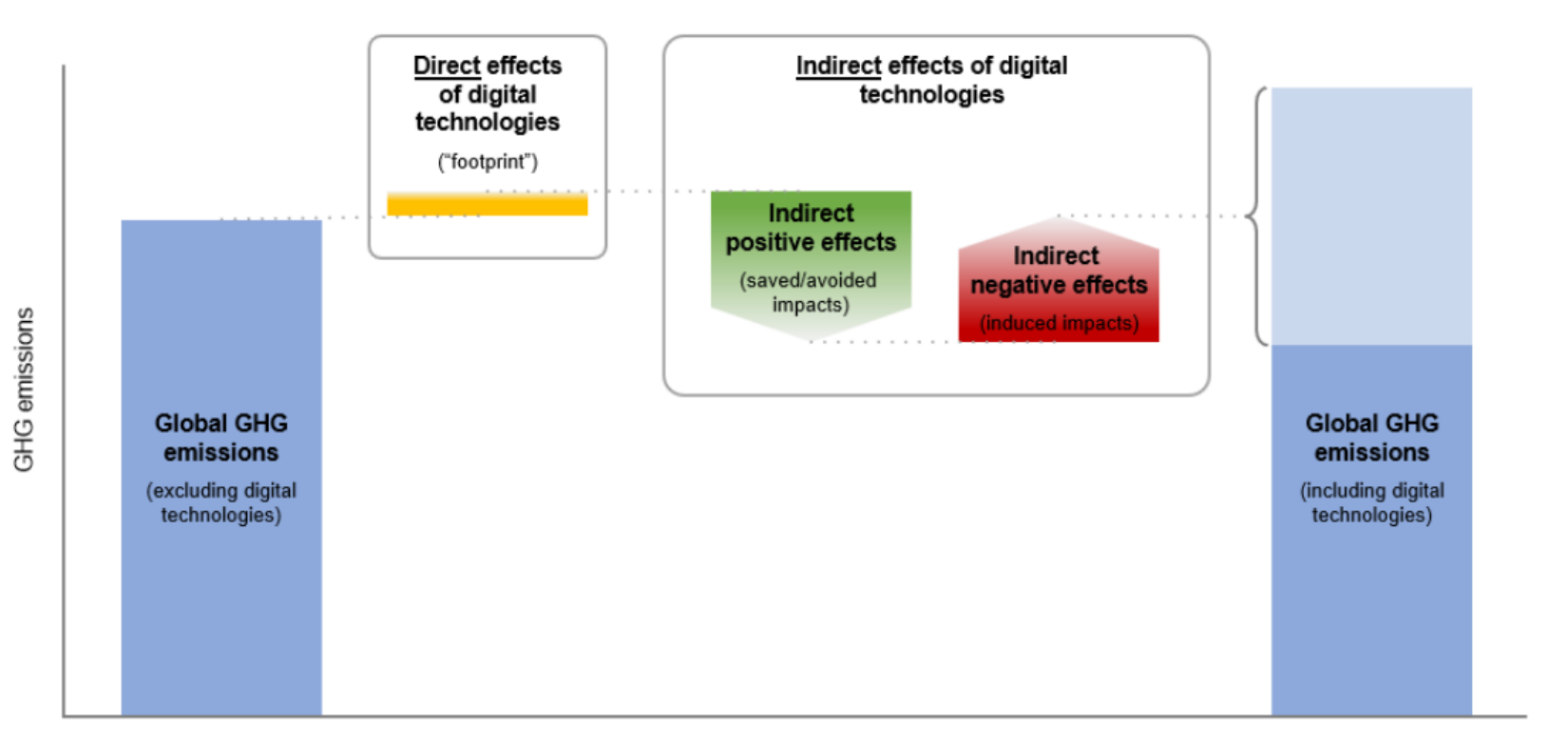
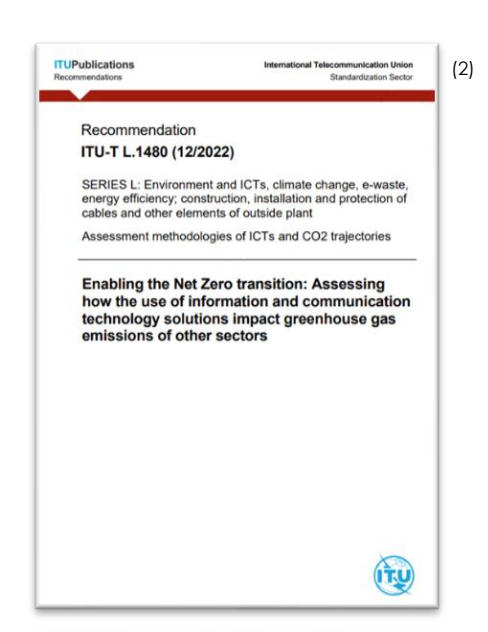


Figure (1): (a) émissions directes du numérique (CV matériel/infrastructures, jaune), (b) effets indirects positifs (bénéfices évités, vert), (c) effets indirects négatifs (rebonds, usages facilités, rouge); incertitudes majeures: échelle purement indicative.



- (1) Bremer, C., Kamiya, G., Bergmark, P., Coroamă, V. C., Masanet, E., & Lifset, R. (2024). Assessing energy and climate effects of digitalization: Methodological challenges and key recommendations. Digitalization, energy and climate (p5). Springer.
- (2) ITU-T L.1480. Enabling the Net Zero transition: Assessing how the use of information and communication technology solutions impact greenhouse gas emissions of other sectors.
- (3) European Green Digital Coalition (EGDC). (n.d.). Net Carbon Impact Assessment Methodology for ICT Solutions. Green Digital Coalition.





L'histoire des systèmes d'information révèlent des mécanismes causaux

Transmettre l'information...















Optique...

Electrique...

Electrique...

Electro-magnétique...

(sans fil)...

Électronique numérique

électromagnétique

(sans fil)

Optoélectronique... Numérique-électronique-

Stocker l'information...



Manuel sur argile/pierre...



Manuel sur parchemin/papier...



Typographique sur papier...





Acoustiquemécanique...





Electromagnétique...



Électronique numérique Optoélectronique...



Électronique numérique

Traiter l'information...

Numérique-Manuel...









Numérique-Electromécanique





Analoaue-électroniaue



- Musée des Arts et Métiers-Cnam/photos S.Pelly/P. Faligo
- (2) Maurer, N. (1996), "The Telegraph and the Growth of the Firm in Nineteenth-Century America," Journal of Economic History, 56(2), 456-472.
- Belloc, Alexis. La télégraphie historique depuis les temps les plus reculés jusqu'à nos jours. Ouvrage illustré de 76 grayures. Paris : Firmin-Didot, 1894.
- Jacobsen, T., & Adams, R. M. (1958). Salt and Silt in Ancient Mesopotamian Agriculture. Science, 128(3334), 1251-1258.
- Creutzig, F., et al. (2022). Digitalization and the Anthropocene. Annual Review of Environment and Resources, 47, 479-509.

Amélioration de la rapidité et de l'efficacité des communications → substitution des modes traditionnels, notamment le courrier postal et messager physique → effet d'entraînement important via l'accélération du commerce, des décisions politiques et de la coordination économique (1, 2, 3).

Télégraphe électrique

1830 - 1910

Ecriture cunéiforme, Sumer 2600BC

Instructions agricoles codifiées → coordination de systèmes d'irrigation centralisés (possible à grande échelle, impossible localement) → gains de productivité + expansion territoriale → salinisation des sols, ...

IA moderne

Automatisation et optimisation massive des processus, croissance rapide de la demande numérique et des nouveaux services (cloud. IA générative), effets rebond par la multiplication des usages et une consommation accrue d'énergie et de ressources, diffusion sociale de l'IA à usage générale.

La numérisation (« digital ICT ») intensifie systémiquement ces interactions

Transmettre l'information...













Électronique numérique

Optoélectronique...

Technology ICT Numérique-électroniqueélectromagnétique

Optique...

Electrique...

Electrique...

Electro-magnétique...

(sans fil)...

Stocker l'information...



Manuel sur argile/pierre...



Manuel sur parchemin/papier...



Typographique sur papier...

Optique-chimique

Acoustique-

mécanique...

Electro-magnétique









Électronique numérique

Électronique numérique



Le «Digital ICT est « juste » la dernière forme des systèmes d'information

Digital

Traiter l'information...



Numérique-Manuel...







Numérique-

Mécaniaue



Numérique-Electromécanique



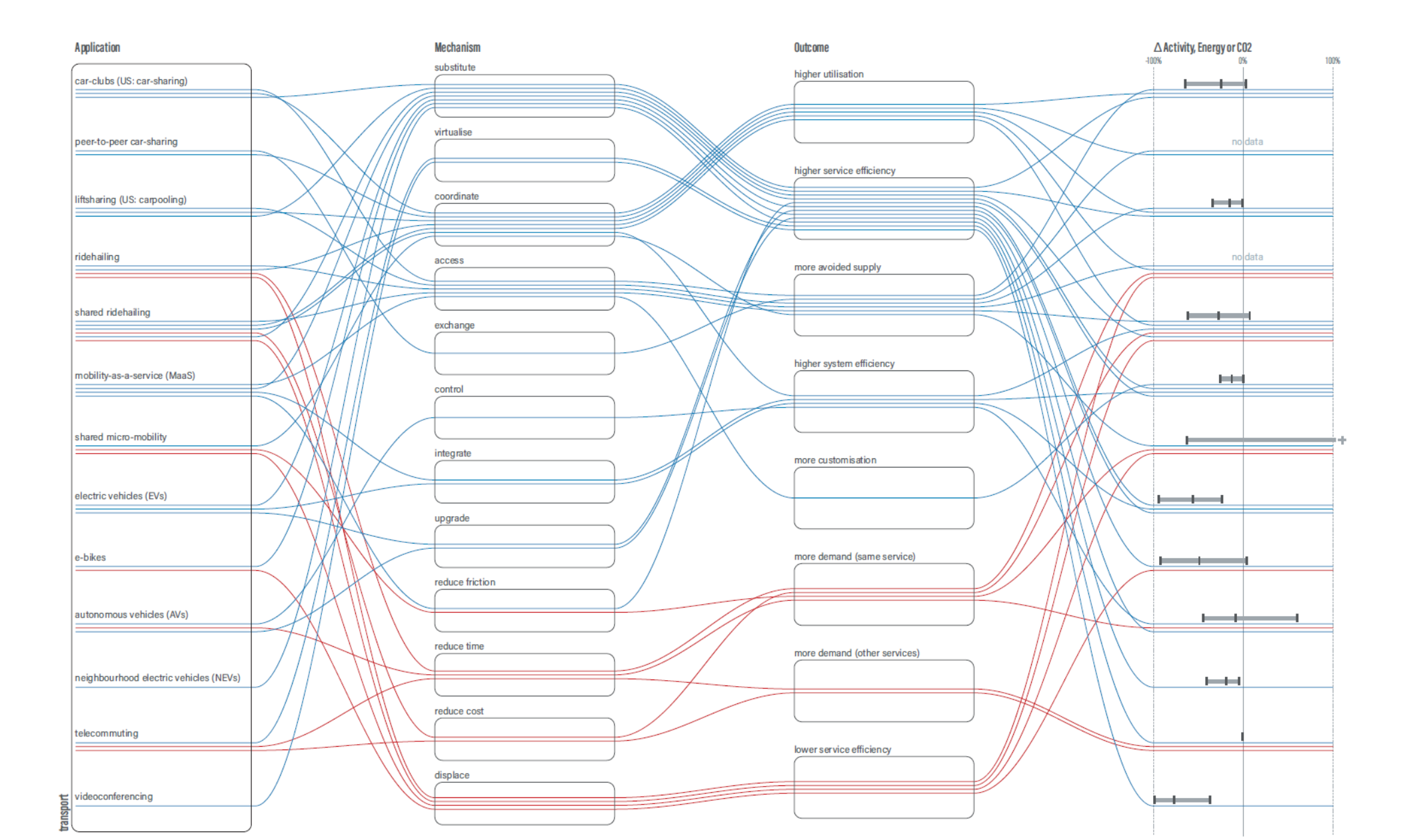


Analoaue-électroniaue



- Musée des Arts et Métiers-Cnam/photos S.Pelly/P. Faligo
- (2) Maurer, N. (1996). "The Telegraph and the Growth of the Firm in Nineteenth-Century America." Journal of Economic History, 56(2), 456-472.
- (3) Belloc, Alexis. La télégraphie historique depuis les temps les plus reculés jusqu'à nos jours. Ouvrage illustré de 76 gravures. Paris : Firmin-Didot, 1894.
- Jacobsen, T., & Adams, R. M. (1958). Salt and Silt in Ancient Mesopotamian Agriculture. Science, 128(3334), 1251-1258.
- (5) Creutzig, F., et al. (2022). Digitalization and the Anthropocene. Annual Review of Environment and Resources, 47, 479-509.

Vers une taxonomie des mécanismes et leur quantification empirique



Petitfor, H, (2024), Disentangling the carbon emissions impact of digital consumer innovations



4 problématiques de modélisation rencontrées dans le cadre de la thèse

Analytique

• Les typologies d'impacts de l'ICT actuelles sont descriptives : elles listent des effets sans détailler les mécanismes articulant les niveaux micro (comportements, pratiques, etc.) et macro (infrastructure, production, capital, etc.). Le manque de vocabulaire commun freine les comparaisons.

Disciplinaire

- La littérature macroéconomique porte principalement sur l'automatisation et la productivité (Acemoglu, 2024 ; Aghion, 2025).
- Les études énergie/économie (Hambye-Verbruggen, Heun, 2025) quantifient les impacts globaux sans causalités spécifiques à l'ICT.
- Les sciences environnementales de l'ICT (Hilty, 2015-2025) progressent sur les mécanismes mais la communauté reste émergente.

Vitesse

• La disruption numérique génère une asynchronie (Stiegler, 2016) entre la rapidité de diffusion des technologies et la vitesse d'adaptation des structures sociales, économiques, énergétiques, réglementaires et infrastructurelles.

Finalité d'usage vs. données statistiques

• L'impact du numérique varie selon la finalité de son déploiement (optimisation productive, inclusion sociale, consommation, etc.). Les données statistiques existantes (OCDE, Eurostat) ne classifient pas les déploiements numériques selon leurs finalités d'usage.



- (1) Acemoglu, D., & Restrepo, P. (2024). The simple macroeconomics of Al. MIT Economics.
- (2) Aghion, P., Antonin, C., & Bunel, S. (2024). Intelligence artificielle, croissance et emploi: le rôle des politiques. Harvard University & OFCE, résumé scientifique.
- (3) Hambye-Verbrugghen, J., Bianchini, S., Brockway, P. E., Aramendia, E., Heun, M. K., & Marshall, Z. (2025). From twin transition to twice the burden?. Ecological Economics, 217, 108152.
- (4) Heun, M. K., Semieniuk, G., & Brockway, P. E. (2025). Energetic and Economic Aspects of Rebound, Part I: Foundations of a Rigorous Analytical Framework. The Energy Journal, 46(5), 245-307.
- (5) Coroama, V. C., & Mattern, F. (2019). Why digitalization will not redeem us our environmental sins: On the rebound effects of ICT. In Proceedings of ICT4S 2019
- (6) Hilty, L. M., & Aebischer, B. (2015). ICT for sustainability: An emerging research field. In L. M. Hilty & B. Aebischer (Eds.), ICT Innovations for Sustainability (pp. 3–36). Springer.
- (7) Stiegler, B. (2016). Dans la disruption: Comment ne pas devenir fou? Les Liens qui Libèrent.

Pratiques de modélisation (1)

ETH Zurich

- Modélisation hybride: couplage SEED(1) (agent-based sociotechnique) et TIMES-STEM (optimisation techno-éco du mix énergétique suisse à horizon 2050) avec itérations convergentes sur les décisions et la faisabilité système.
- Représentation par agents: modélisation de l'adoption des technologies et pratiques numériques par groupes sociaux hétérogènes, prise en compte des interactions et spillovers intersectoriels.
- Simulation explicite des effets rebond énergétiques numériques, compensés par l'intégration de dispositifs ICT (smart tech, IoT), et quantification sectorielle des impacts.
- Scénarios contrastés ("Digitalisation figée" vs "Accélérée") avec calibration sur taux d'adoption, budgets, digital skills et quantification des bénéfices énergétiques et économiques (jusqu'à 15% de réduction de consommation résidentielle, baisse des coûts de transition, alignement sur net-zero).





Contents lists available at ScienceDirect

Energy Policy



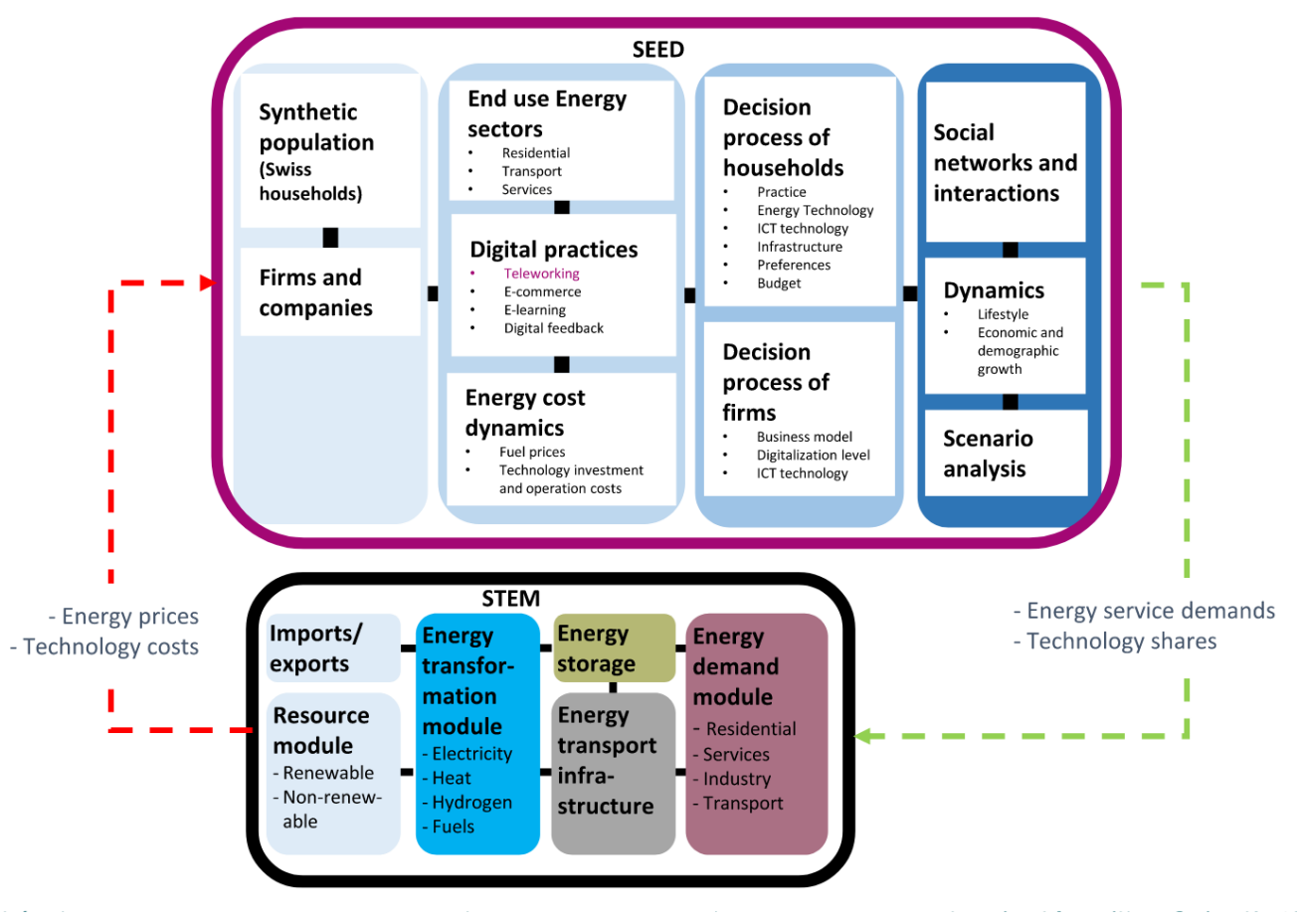


The role of digital social practices and technologies in the Swiss energy transition towards net-zero carbon dioxide emissions in 2050



L. Stermieri^a, T. Kober^a, R. McKenna^{d,e}, T.J. Schmidt^{b,c}, E. Panos^{a,*}

- ^a Paul Scherrer Institute, Laboratory for Energy Systems Analysis, Energy Economics Group, Forschungsstrasse 111, 5232, Villigen PSI, Switzerland
- ^b Paul Scherrer Institute, Research Division Energy & Environment, Forschungsstrasse 111, 5232, Villigen PSI, Switzerland
- c ETH Zurich, Institute for Molecular Physical Sciences, Dep. of Chemistry and Applied Biosciences, Vladimir-Prelog-Weg 1-5/10, 8093, Zurich, Switzerland
- d Paul Scherrer Institute, Laboratory for Energy Systems Analysis, Forschungsstrasse 111, 5232, Villigen PSI, Switzerland
- e ETH Zurich, Chair of Energy System Analysis, Institute of Energy and Process Engineering, Dep. of Mechanical and Process Eng., Clausiusstrasse 33, 8092, Zurich,

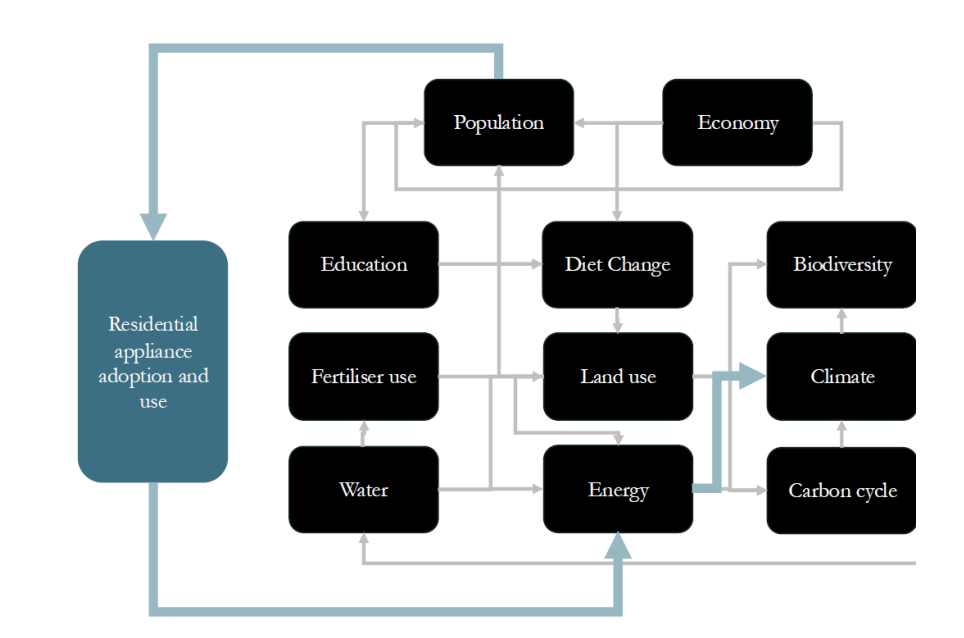


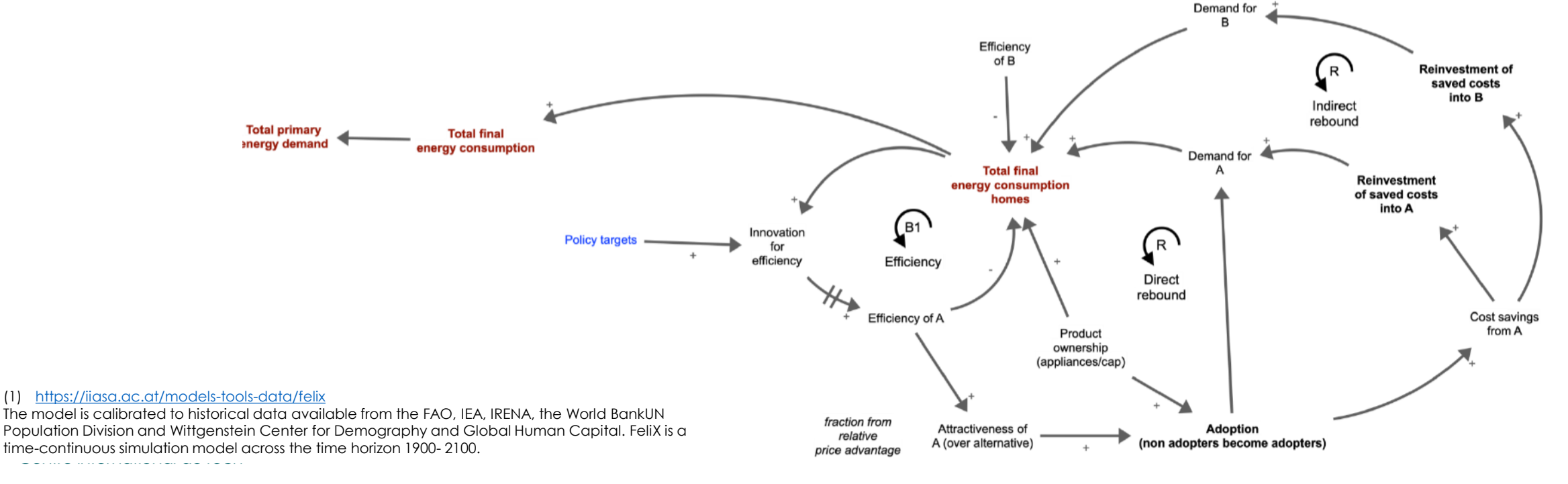


Pratiques de modélisation (2)

IIASA/Felix: Exploration des dynamiques de la numérisation

- Introduction d'indicateurs de numérisation dans FeliX.
- Exploration des interactions entre boucles de rétroaction à différents niveaux du système et leur impact sur la numérisation.
- Intégration des recherches empiriques dans la modélisation quantitative des effets du numérique par la dynamique des systèmes.





Approche: Modèle heuristique Premiers travaux de modélisation

Approche méthodologique

 Modèle « parcimonieux » / heuristique combinant dynamique des systèmes (aspects structurels) et multi-agents (aspects comportementaux), fondé sur les mécanismes causaux.

Structuration par finalités d'usage (non par infrastructure)

- Finalité environnementale (4S): sobriété, substitution, etc.
- Finalité de socio-développement (4D) : inclusion, éducation, etc.
- Autres finalités (4C) : consommation, divertissement, etc.

Cœur du modèle

L'évolution de la structure du capital ICT, déterminée par les orientations structurelles (investissements, institutions) et les pratiques socio-numériques (comportementales), impacte la demande énergétique, les émissions, l'emploi et le bien-être.

Objectif

 Observer comment l'allocation des investissements dans le capital ICT (obsolescent vs. frugal) et les dynamiques comportementales orientent les trajectoires énergétiques, climatiques et de bien-être.



Partie Macro (SD)

Utilisation d'un modèle de croissance simple.

Fonction de production

$$Y_t = A_{ND}(t) K_t^{\alpha_1} L_t^{\alpha_2} E_t^{\alpha_3}, \quad \alpha_i > 0, \ \alpha_1 + \alpha_2 + \alpha_3 \le 1.$$

• Investissements fléchés par finalités

$$I_{x,j,t} = \sigma_t Y_t \pi_j(t) \chi_{x|j}(t), \qquad \sum_j \pi_j(t) = 1, \quad \sum_x \chi_{x|j}(t) = 1.$$

Capitaux: Numérique, numérisé, non-numérisé

$$K_t = \sum_{i} \left(K_{\text{ICT},j,t} + K_{\text{NICT},j,t} \right)$$

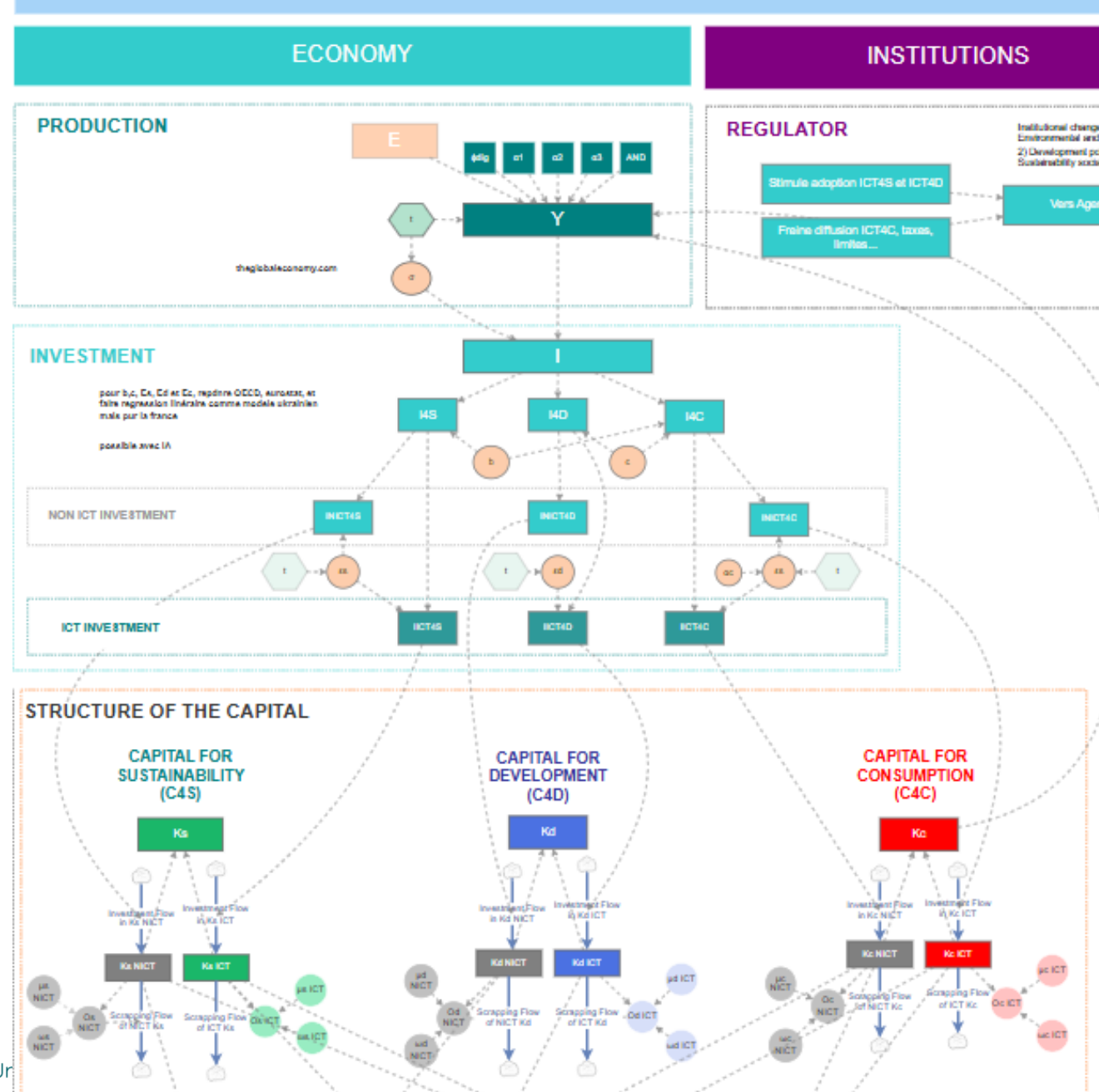
Energie: Effets directs et indirects ICT, énergie hors ICT

$E_{\rm dir} = \alpha_{\rm dir} \sum_{i}$	$K_{\mathrm{ICT},j}^{\lambda_{j,\mathrm{ICT}}}$	$e^{\theta_{\text{dir}}^{T} M_t}, E_{\text{ind,num}} = \alpha_T \sum_j K_{\text{NICT}^t}^{\lambda_{j,T}}$	$E_{\text{rans},j}e^{\theta_T^{\top}M_t}, E_{\text{ind,non}} = \alpha_N \sum_j K_{\text{NIC}}^{\lambda_{j,N}}$	$T_{\text{T}^{\text{non}},j}e^{\theta_N^{\top}M_t}.$
$\alpha_{\rm dir}, \alpha_T, \alpha_N$	Énergie	Échelles de canaux	Param./calage > 0	S
$= [\lambda_{j,x}]$	Énergie	Élasticités $K \rightarrow E$ (par j, x)	Matrice 3×3	S
$\theta_{ m dir}, \theta_T, \theta_N$	Énergie	Sensibilités mécanismes	Vecteurs dans $e^{\theta^{\top} M_t}$	$_{ m S}$
M_t	Méca.	Mécanismes agrégés	[SAVE, REB, PUSH, IND, SPII	LL, LOCK, H OR

Pollution, travail, bien-être



SYSTEM DYNAMICS MODEL - MACRO LEVEL



Partie micro (ABM)

ABM: structure des utilités et mécanismes émergents

Chaque agent h évolue selon deux fonctions d'utilité hiérarchisées, correspondant à deux temporalités de décision.

1. Utilité d'orientation (long terme). Cette utilité décrit la propension d'un agent à s'aligner sur un vecteur dominant $j^* \in \{\text{ICT4C}, \text{ICT4D}, \text{ICT4S}, \text{Out}, \text{Synergic}\}$. Elle agrège cinq dimensions : préférences intrinsèques, éligibilité (ressources et compétences), impulsions externes, apprentissage social et inertie comportementale.

$$U_{h,j,t}^{\mathrm{ori}} = f \big(\mathrm{pref}_{h,j,t}, \mathrm{elig}_{h,j,t}, \mathrm{skill}_{h,j,t}, \mathrm{push}_{h,j,t}, \mathrm{inertie}_{h,j,t-1} \big), \qquad j_{h,t}^{\star} = \arg\max_{j} U_{h,j,t}^{\mathrm{ori}}.$$

Ce premier niveau détermine la trajectoire identitaire de l'agent (orientation consumériste, développementale, soutenable, ou hybride).

2. Utilité de pratiques (court terme). Conditionnée par le profil $j_{h,t}^*$, cette utilité pondère les déterminants du choix entre différentes pratiques $p \in \{C, D, S\}$ au sein de l'année. Elle intègre le coût, l'accès aux infrastructures, les préférences et l'influence sociale :

$$U_{h,p,t}^{\mathrm{pra}} = A_{j^{\star}}^{\mathrm{pref}} \operatorname{pref}_{h,p,t} - A_{j^{\star}}^{\mathrm{cost}} \operatorname{cost}_{h,p,t} + A_{j^{\star}}^{\mathrm{infra}} \operatorname{infra}_{h,p,t} + A_{j^{\star}}^{\mathrm{soc}} \operatorname{soc}_{h,p,t}.$$

Le choix est modélisé par une répartition logit :

$$s_{h,p,t} = \frac{\exp(U_{h,p,t}^{\text{pra}}/\sigma)}{\sum_{q} \exp(U_{h,q,t}^{\text{pra}}/\sigma)}, \qquad \pi_{j,t} = \frac{1}{H} \sum_{h} \sum_{p:j(p)=j} s_{h,p,t}.$$

Cette étape traduit les arbitrages effectifs de consommation et d'usage numérique.

3. Génération ex post des mécanismes. Les mécanismes émergent de l'agrégation des comportements réalisés, sans intervenir dans les utilités ellesmêmes. Ils traduisent les effets comportementaux observables du système :

$$M_t = [\text{SAVE, REB, IND, LOCK, SPILL, HORD, PUSH}]^{\top}, \qquad M_t = \frac{1}{H} \sum_h M_{h,t}.$$

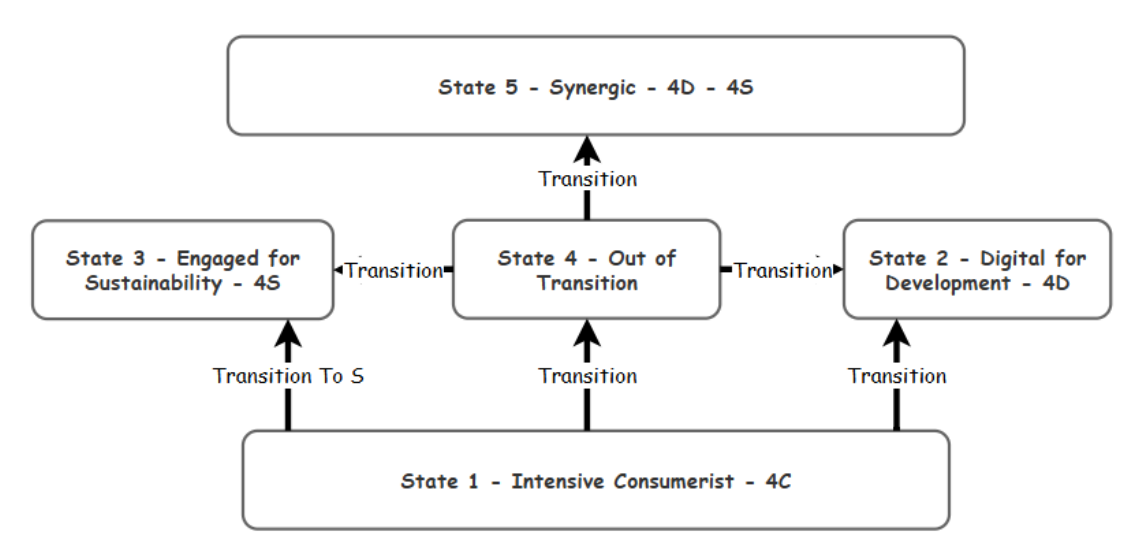
Chaque composante correspond respectivement à un effet d'efficience, de rebond, d'induction, de verrouillage, de diffusion sociale, de rétention d'équipements ou de diffusion sobre.

En synthèse : L'utilité d'orientation détermine la posture structurelle de l'agent, l'utilité de pratiques régit ses choix opérationnels, et les mécanismes M_t condensent les rétroactions comportementales collectives produites par ces dynamiques.

pement —Unité

STRUCTURE OF HOUSEHOLDS

Utility Function for Household Orientation (vh)



10 Synthèse — mécanismes : description, capture ABM, capture SD

Mécanisme	Description	ABM : où c'est capté	$\mathrm{SD}:\mathrm{où}$ ça agit		
SAVE	Efficience/pratiques sobres	Générateur (indicateurs d'efficience) \rightarrow SAVE _t	$\theta_{\mathrm{dir}}, \theta_T, \theta_N \downarrow ; m_{\mathrm{out},j} \uparrow ;$ parfois $\omega_{x,j} \uparrow$		
REB	Rebond post-efficience	Générateur (intensification usages $4C$) $\rightarrow REB_t$	$\theta_{\rm dir}, \theta_N \uparrow$; indirect $\pi_{4C} \uparrow$		
PUSH	Diffusion techno sobre	Générateur (politiques/réseaux) $\rightarrow \text{PUSH}_t$	$m_{\mathrm{in},j} \uparrow \Rightarrow \nu_{j,t} \uparrow ; \theta_T \downarrow$		
IND	Induction d'usages	Générateur (émergence segments) $\rightarrow \text{IND}_t$	$m_{\text{in},j} \uparrow$; via $\chi_{x j}$ $\Rightarrow I_{\text{ICT}}, I_{\text{trans}} \uparrow$; $\theta_{\text{dir}}, \theta_N$ parfois \uparrow		
SPILL	Diffusion sociale	Dans $U_{h,p,t}$ via $S_{p,t}$	Réoriente π_j ; diffuse $m_{\text{in/out},j}$ via M_t		
LOCK	Verrouillage	Dans $U_{h,p,t}$ (inertie)	$m_{\text{out},4C} \downarrow \Rightarrow \delta_{4C}^{\text{dec}} \downarrow ; \omega_{\cdot,4C} \downarrow ; \pi_{4C} \uparrow$		
HORD	Rétention ICT	Générateur (dormance/veille) $\rightarrow \text{HORD}_t$	$\omega_{\text{ICT},j} \downarrow$; charge passive $E_{\text{dir}} \uparrow$		